

УДК 625.85

## ПРОСТЕЙШИЕ ЗВЕНЬЯ ЛИНЕЙНОЙ ПРОСТРАНСТВЕННОЙ РЕОЛОГИЧЕСКОЙ МОДЕЛИ АСФАЛЬТОБЕТОНА

В.А. Богомолов, профессор, д.т.н., В.К. Жданюк, профессор, д.т.н.,  
С.В. Богомолов, инженер, ХНАДУ

*Аннотация.* Рассмотрены трехмерные математические модели напряженно-деформированного состояния элементов: Гука, Ньютона, Максвелла, Кельвина.

*Ключевые слова:* реологическая модель, девиатор, тензор, напряжения, деформации.

## НАЙПРОСТІШІ ЛАНЦЮГИ ЛІНІЙНОЇ ПРОСТОРОВОЇ РЕОЛОГІЧНОЇ МОДЕЛІ АСФАЛЬТОБЕТОНУ

В.О. Богомолов, професор, д.т.н., В.К. Жданюк, професор, д.т.н.,  
С.В. Богомолов, інженер, ХНАДУ

*Анотація.* Розглянуто тримірні математичні моделі пружно-деформованого стану елементів: Гука, Ньютона, Максвелла, Кельвіна.

*Ключові слова:* реологічна модель, девіатор, тензор, пружний стан, деформації.

## ELEMENTARY LINKS OF LINEAR SPATIAL RHEOLOGICAL MODEL OF ASPHALT-CONCRETE

V. Bogomolov, Professor, Doctor of Technical Science, V. Zhdaniuk, Professor,  
Doctor of Technical Science, S. Bogomolov, engineer, KhNAHU

*Abstract.* The article deals with three-dimensional mathematical models of the deformation mode of Hook, Newton, Maxwell and Kelvin elements.

*Key words:* rheological model, deviator, tensor, stress, deformation.

### Введение

В асфальтобетонных покрытиях при определенных температурах и режимах нагружения появляются остаточные деформации, посчитать которые возможно только при условии использования вязко-упругой модели.

### Анализ публикаций

В настоящее время накопился огромный массив исследований реологического поведения асфальтобетонов. Только некоторые из них [1–4].

На наш взгляд, основным недостатком большинства таких исследований является то, что в них математические модели записаны для

так называемых одномерных, или одноосных задач.

### Цель и постановка задачи

Целью настоящей работы является совершенствование 3-D реологических моделей простейших элементов: Гука, Ньютона, Максвелла, Кельвина, на базе которых впоследствии можно построить вязко-упругую 3-D модель асфальтобетона и других строительных материалов, являющихся составными частями дорожной одежды.

### Тензор и девиатор

Асфальтобетон работает в условиях трехмерного нагружения. В каждой точке его на-

пряженно-деформированное состояние представляется в виде тензоров [5]

$$T_n = D_n + D_{ш}; \tag{1}$$

$$T_d = D_d + D_o, \tag{2}$$

где  $T_n, T_d$  – тензоры напряжений и деформаций;  $D_n, D_d$  – девиаторы напряжений и деформаций;  $D_{ш}$  – шаровый тензор напряжений;  $D_o$  – объемный тензор деформаций.

И именно из пространственной модели нагружения будет более правильным получать одноосный тип напряженно-деформированного состояния как частный случай более общей модели.

Напомним, что [5, 6]:

$$D_n = \left\{ \begin{matrix} \sigma_x - \sigma_{cp}, & \tau_{xy}, & \tau_{xz} \\ \tau_{yx}, & \sigma_y - \sigma_{cp}, & \tau_{yz} \\ \tau_{zx}, & \tau_{zy}, & \sigma_z - \sigma_{cp} \end{matrix} \right\}; \tag{3}$$

$$D_{ш} = I \cdot \sigma_{cp}; \tag{4}$$

$$I = \begin{pmatrix} 1 & 0 & 0 \\ 0 & 1 & 0 \\ 0 & 0 & 1 \end{pmatrix} - \text{единичная матрица}; \tag{5}$$

$$\sigma_{cp} = \frac{\sigma_x + \sigma_y + \sigma_z}{3}; \tag{6}$$

$$D_d = \left\{ \begin{matrix} \varepsilon_x - \varepsilon_{cp}, & \frac{1}{2}\gamma_{xy}, & \frac{1}{2}\gamma_{xz} \\ \frac{1}{2}\gamma_{yx}, & \varepsilon_y - \varepsilon_{cp}, & \frac{1}{2}\gamma_{yz} \\ \frac{1}{2}\gamma_{zx}, & \frac{1}{2}\gamma_{zy}, & \varepsilon_z - \varepsilon_{cp} \end{matrix} \right\}, \tag{7}$$

где  $\sigma_x, \sigma_y, \sigma_z$  – напряжения растяжения-сжатия в точке;  $\tau_{xy} \dots \tau_{zy}$  – касательные напряжения;  $\varepsilon_x, \varepsilon_y, \varepsilon_z$  – относительные деформации растяжения-сжатия;  $\gamma_{xy} \dots \gamma_{zy}$  – угловые деформации сдвига;

$$\varepsilon_{cp} = \frac{\varepsilon_x + \varepsilon_y + \varepsilon_z}{3}; \tag{8}$$

$$D_o = I \cdot \varepsilon_{cp}. \tag{9}$$

### Реологическая модель

Многие исследователи [1–4] отмечают, что для описания реологических свойств асфальтобетона может использоваться физическая модель Биргера (см. рис. 1, а).

Из линейной теории вязкоупругости [7] известно, что модель рис. 1, а имеет еще как минимум три аналога (см. рис. 1, б, в, г). При этом использование схемы рис. 1, а имеет несомненные преимущества при экспериментальной оценке коэффициентов  $G_1, G_2, \eta_1, \eta_2$ .

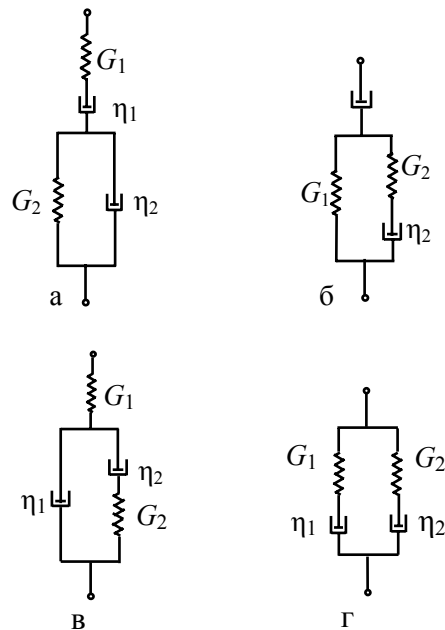


Рис. 1. Четырехэлементные реологические модели:  $G_1, G_2, \eta_1, \eta_2$  – коэффициенты, характеризующие жесткостные и вязкостные свойства асфальтобетона

Схему рис. 1, б выгодно применять, если в элементы  $\eta_1$  и  $\eta_2$  вводятся пороговые значения в виде элементов Шведова [4], см. рис. 2, при этом четырехэлементная модель (рис. 1, б) преобразуется в шестиэлементную. Хотя, надо сказать, что любая из моделей (рис. 1) может быть преобразована в пяти-шестиэлементную, подобно тому, как это сделано на рис. 2.

Схема рис. 1, г хорошо приспособлена для численного интегрирования, а также формирования на ее основе нелинейной реологической модели.

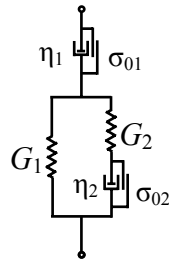


Рис. 2. Шестиэлементная реологическая модель с двумя элементами Шведова:  $\sigma_{01}$ ,  $\sigma_{02}$  – пороговые значения срабатывания элементов Шведова

Но все они имеют общий признак: структурно они составлены из простейших звеньев [6, 7], представленных на рис. 3.

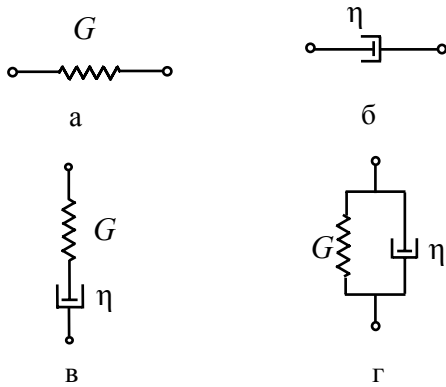


Рис. 3. Простейшие звенья реологической модели: а – упругий элемент; б – вязкий элемент; в – модель Максвелла; г – модель Кельвина

### Упругий элемент Гука

Пространственная модель упругого элемента (рис. 3, а) может быть записана в виде обобщенного закона Гука [5, 6, 8]

$$D_{н(y)} = 2GD_{д(y)}, \quad (10)$$

где  $G$  – модуль сдвига;  $(y)$  – индекс, означающий принадлежность к упругому элементу.

Как видно из (4, 9), чтобы записать  $D_{ш(y)}$ ,  $D_{о(y)}$ , необходимо определиться с  $\sigma_{ср}$  и  $\epsilon_{ср}$ . Эти величины связаны между собой известным выражением [5, 8]

$$\sigma_{ср} = \epsilon_{ср} \frac{E}{(1-2\mu)} = \epsilon_{ср} \frac{2G(1+\mu)}{(1-2\mu)} = \epsilon_{ср} 3K \quad (11)$$

где  $E$  – модуль продольной упругости;  $\mu$  – коэффициент Пуассона;  $K = \frac{2G(1+\mu)}{3(1-2\mu)}$  – объемный модуль упругости.

Для одноосного случая из (10), (11) можно легко получить известные зависимости, например

$$\sigma_x = E\epsilon_x; \quad \tau_{xy} = G\gamma_{xy}. \quad (12)$$

### Вязкий элемент Ньютона

Для вязкого элемента (рис. 3, б) по аналогии с (10) принято [5, 6, 7, 8] записывать

$$D_{н(в)} = 2\eta\dot{D}_{д(в)}, \quad (13)$$

где  $\eta$  – коэффициент вязкого сопротивления, определяемый из опытов на простое растяжение, сжатие образца;  $(в)$  – индекс, означающий принадлежность к вязкому элементу;  $\dot{D}_{д(в)} = \frac{dD_{д(в)}}{dt}$  – девиатор скоростей деформаций.

Связь между  $D_{ш(в)}$  и  $D_{о(в)}$ , в общем случае, для рассматриваемого элемента можно записать, исходя из [9, 10]

$$\sigma_{ср} = 3\eta_v \dot{\epsilon}_{ср}, \quad (14)$$

где  $\eta_v$  – объемный коэффициент вязкого сопротивления, определяемый из опытов на всестороннее сжатие образца, например, в барокамере.

С другой стороны, по аналогии с (11), очень часто записывают

$$\dot{\epsilon}_{ср} = \frac{\sigma_{ср}(1-2\mu_v)}{2\eta(1+\mu_v)}, \quad (15)$$

где  $\mu_v$  – коэффициент объемного расширения.

Для Ньютонской вязкой жидкости принято считать [5], что  $\mu_v = 0,5$ , поэтому для нее

$$\dot{\epsilon}_{ср} \equiv 0. \quad (16)$$

И в этом случае, из (13, 16) для одноосного напряженного состояния имеет место

$$\sigma_x = \eta_p \dot{\varepsilon}_x; \tau_{xy} = \eta \dot{\gamma}_{xy}, \quad (17)$$

$$\text{где} \quad \eta_p = 3\eta, \quad (18)$$

$\eta_p$  – видимый коэффициент вязкого сопротивления при растяжении-сжатии.

Справедливость соотношений (17, 18) для полимеров экспериментально и теоретически подтверждается многими исследованиями, например [11, 12] и др.

### Элемент Максвелла

Для него (рис. 3, в) справедливы соотношения [5, 6, 7 и др.]

$$T_{н(y)} = T_{н(в)} = T_{н(м)}; T_{д(м)} = T_{д(y)} + T_{д(в)}, \quad (19)$$

где (м) – индекс, указывающий на принадлежность к модели Максвелла в целом. Отсюда

$$D_{н(y)} = D_{н(в)} = D_{н(м)}; \quad (20)$$

$$D_{д(м)} = D_{д(y)} + D_{д(в)}; \dot{D}_{д(м)} = \dot{D}_{д(y)} + \dot{D}_{д(в)}. \quad (21)$$

Поскольку из (10), (13) следует, что для рис. 3, в

$$D_{н(y)} = 2GD_{д(y)}; D_{д(y)} = \frac{D_{н(y)}}{2G};$$

$$\dot{D}_{д(y)} = \frac{\dot{D}_{н(y)}}{2G}, \quad (22)$$

и с учетом (20)

$$\dot{D}_{д(y)} = \frac{\dot{D}_{н(м)}}{2G}, \quad (23)$$

а также из (13)

$$\dot{D}_{д(в)} = \frac{D_{н(в)}}{2\eta}, \quad (24)$$

и с учетом (20)

$$\dot{D}_{д(в)} = \frac{D_{н(м)}}{2\eta}, \quad (25)$$

подставим (23, 25) в (21) и после соответствующих преобразований получим дифференциальное соотношение

$$\frac{\eta}{G} \dot{D}_{н(м)} + D_{н(м)} = 2\eta \dot{D}_{д(м)}. \quad (26)$$

Рассуждая аналогичным образом, для  $D_{ш(м)}$  и  $D_{о(м)}$  в общем случае получаем

$$\frac{\eta_v}{K} \dot{\sigma}_{ср(м)} + \sigma_{ср(м)} = 3\eta_v \dot{\varepsilon}_{ср(м)}. \quad (27)$$

Легко убедиться, что при выполнении (16), уравнение (27) трансформируется в (11). Таким образом, алгоритм вычисления перемещений и напряжений в объемной модели Максвелла может осуществляться по следующей схеме.

После совместного решения (26, 27) или (26, 11) записываем  $T_{н(м)}$  и  $T_{д(м)}$ , см. (1, 2). Упругую составляющую деформаций можно получить при помощи уравнений (11, 19, 20, 22), а затем по – формуле

$$T_{д(в)} = T_{д(м)} - T_{д(y)}. \quad (28)$$

Определяемся и с вязкостной составляющей.

Нетрудно показать, что из (26) получается общеизвестное дифференциальное уравнение для одноосного напряженного состояния модели Максвелла, представленное, например в [3, 4]

$$\frac{\eta_p}{E} \dot{\sigma}_x + \sigma_x = \eta_p \dot{\varepsilon}_x. \quad (29)$$

Это выражение получается, если учесть, что на стадии ползучести можно принять

$$\frac{\eta}{G} = \frac{3\eta}{3G} = \frac{\eta_p}{E}.$$

Решение дифференциальных уравнений (29) и (26) продемонстрированы на рис. 4, 5.

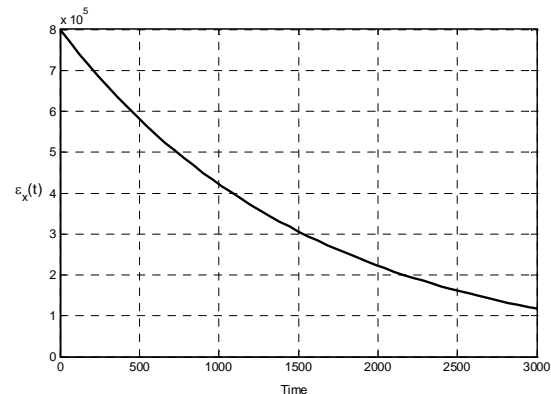


Рис. 4. Функция  $\varepsilon_x = f(t)$  модели Максвелла при условиях  $\eta_p = 5 \cdot 10^{12}$  Па·с;  $E = 3,2 \cdot 10^9$  Па;  $\varepsilon_{x0} = 2,5 \cdot 10^{-4}$ ;  $\sigma_y = 0$ ;  $\sigma_z = 0$

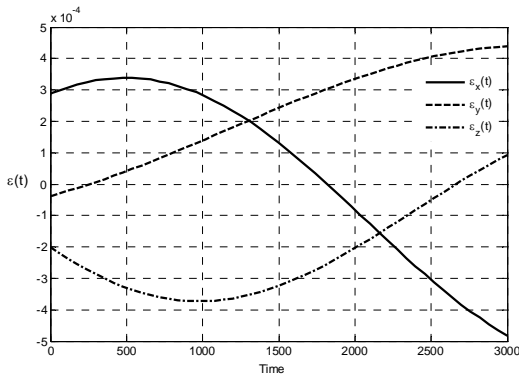


Рис. 5. Функция  $\epsilon_x = f_1(t)$ ,  $\epsilon_y = f_2(t)$ ,  $\epsilon_z = f_3(t)$  модели Максвелла при условиях:  $\eta = 1,67 \cdot 10^{12}$  Па · с;  $G = 1,23 \cdot 10^9$  Па;

$$\sigma_x = 8 \cdot 10^6 \cdot \cos\left(\frac{\pi t}{3000}\right) \text{ Па};$$

$$\sigma_y = 6 \cdot 10^6 \left(\frac{\pi t}{4500}\right) \text{ Па};$$

$$\sigma_z = (4 \cdot 10^6 - \sigma_1 - \sigma_2) \text{ Па}$$

**Элемент Кельвина**

Рассуждая аналогичным образом, можно получить и соответствующие уравнения для модели Кельвина (см. рис. 3, г).

Для параллельного соединения упругого и вязкого элементов справедливы соотношения [4, 5, 6]

$$T_{д(у)} = T_{д(в)} = T_{д(к)}; \tag{30}$$

$$T_{н(к)} = T_{н(у)} + T_{н(в)}, \tag{31}$$

где (к) – индекс, указывающий на принадлежность величин тензоров деформаций и перемещений к модели Кельвина в целом.

Таким образом,

$$D_{д(у)} = D_{д(в)} = D_{д(к)}; \tag{32}$$

$$D_{н(к)} = D_{н(у)} + D_{н(в)}. \tag{33}$$

После подстановки (10, 13) в (33) и с учетом (32) получаем

$$D_{н(к)} = 2GD_{д(к)} + 2\eta\dot{D}_{д(к)}. \tag{34}$$

И для  $D_{ш(к)}$  и  $D_{о(к)}$

$$\sigma_{ср(к)} = 3K\epsilon_{ср(к)} + 3\eta_v\dot{\epsilon}_{ср(к)}. \tag{35}$$

Алгоритм вычисления перемещений и напряжений по (34, 35), в том числе и отдельно для упругой и вязкостной составляющих, может осуществляться аналогично тому, как это предложено для модели Максвелла, см. (26, 27, 28).

Для одноосного напряженного состояния, учитывая (3, 4, 5, 6, 7, 8, 9, 15) и при условии, что

$$\mu = \mu_v = 0,5. \tag{36}$$

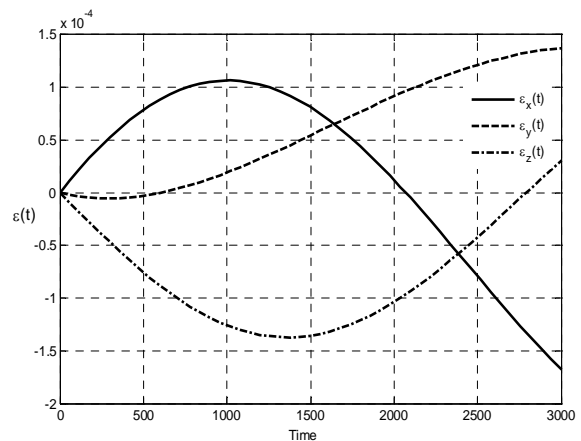


Рис. 6. Функции  $\epsilon_x = f_1(t)$ ,  $\epsilon_y = f_2(t)$ ,  $\epsilon_z = f_3(t)$  модели Кельвина (при условиях нагружения, соответствующих рис. 5)

Получаем известное [4, 5] выражение

$$\sigma_x = E\epsilon_x + \eta_p\dot{\epsilon}_x. \tag{37}$$

Решение дифференциального уравнения (34) (при условиях нагружения по рис. 5) показано на рис. 6.

**Выводы**

Таким образом, предложены трехмерные реологические модели простейших звеньев, которые могут быть использованы при построении модели асфальтобетона.

**Литература**

1. Золотарев В.А. Исследование свойств асфальтобетонов различной макроструктуры: дис. ... канд. техн. наук: 05.23.05 / В.А. Золотарев. – Харьков, 1967. – 207 с.
2. Ткачук Ю.П. Влияние структурных особенностей асфальтобетона на законо-

- мерности его вязкоупругого поведения при статическом нагружении: дис. ... канд. техн. наук: 05.23.05 / Ю.П. Ткачук. – Харьков, 1977. – 217 с.
3. Богуславский А.М. Основы реологии асфальтобетона / А. Богуславский, Л. Богуславский; под общ. ред. Н.Н. Иванова. – М. : Высшая школа, 1972. – 199 с.
  4. Шульман З.П. Реофизика конгломератных материалов / З.П. Шульман, Я.Н. Ковалев, Э.А. Зальцгендлер. – Минск : Наука и техника, 1978. – 240 с.
  5. Безухов Н.И. Основы теории упругости, пластичности и ползучести / Н.И. Безухов. – М. : Высшая школа, 1968. – 512 с.
  6. Мейз Дж. Теория и задачи механики сплошных сред / Дж. Мейз; пер. с англ. Е.И. Свешниковой. – М. : Мир, 1974. – 318 с.
  7. Бленд Д. Теория линейной вязкоупругости / Д. Бленд; пер. с англ. И.И. Гольберга, Н.И. Малинина. – М. : Мир, 1965. – 199 с.
  8. Самуль В.И. Основы теории упругости и пластичности : учеб. пособие для студентов ВТУЗов / В.И. Самуль. – М. : Высшая школа, 1982. – 264 с.
  9. Рейнер М. Реология / М. Рейнер ; пер. с англ. Н.И. Малинина. – М. : Наука, 1965. – 223 с.
  10. Рейнер М. Деформация и течение / М. Рейнер ; пер. со втор. англ. изд. Л.Н. Никитина, А.М. Кочеткова, В.Н. Кунджанова. – М. : Гос. научн.-техн. изд-во нефтян. и горно-топливн. лит-ры, 1963. – 381 с.
  11. Виноградов Г.В. Реология полимеров / Г.В. Виноградов, А.Я. Малкин. – М. : Химия, 1977. – 440 с.
  12. Тагер А.А. Физико-химия полимеров / А.А. Тагер. – М. : Химия, 1968.
- Рецензент: В.В. Филиппов, профессор, д.т.н., ХНАДУ.
- Статья поступила в редакцию 1 октября 2010 г.
-